

円環の孔の附近の流れ (孔が小さい場合)

長岡技科大 脇屋正一 (Shoichi Wakeiya)

1、一様流中におかれた円環のまわりの軸対称流に対するストークス方程式の厳密解は Pell と Payne¹⁾ によって求められている。その後ヤ、別の方法で筆者²⁾ によっても取扱われ、流れに対する円環の閉塞効果や抵抗が計算された。また円環の孔の大きさが 0 となった極限の場合 (閉じた円環) は高木³⁾ によって解かれたが、流れの詳細は近年になって調べられた。閉じた孔の附近で渦領域の無限別が生じることが筆者⁴⁾ 並びに Dorrepaal 等⁵⁾ によって指摘され、特に後者はその構造を詳しく解析している。

一方孔が十分大きくなるときはそのような渦領域は存在しないことは明白である。では渦領域は孔が完全に閉じた瞬間無限に発生するのかわ、それとも孔の大きさが 0 に近づくにつれて次第にできてゆくのであろうか。この疑問に答えるためには、無限級数で与えられている Pell と Payne の解は孔が小さく

なる程収束が悪くなり、かつ流れの構造について何等のイン
 フォーマーエピソードも与えなりので具合が悪い。本稿では先づ
 Pell と Payne の解を基にして孔が小さいときに有効な解を求
 める。次いでこの解を使って孔の附近の流れの詳細な構造を
 調べる。最近 Davis と O'Neill⁶⁾ は平面の近くにおかれた円
 柱を過ぎるせん断流に対し平面と円柱との隙間の流れの定式
 を論じているが、本稿の結果は彼等によつて得られた二次元
 の場合の結論と定性的に一致するものである。

2. まず Pell と Payne の研究の簡潔な紹介と若干の補
 足説明から始めよう。軸対称流に対し流れの関数を ψ とすれば

$$L_{-1}^2 \psi = 0, \quad L_{-1} = \frac{\partial^2}{\partial x^2} + \frac{\partial^2}{\partial r^2} - \frac{1}{r} \frac{\partial}{\partial r} \quad (1)$$

ただし円柱座標 (x, r, θ) は主流の方向に x 軸をとる。二極
 座標 (ξ, η) を次式によつて導入する。

$$x = c \frac{\sinh \eta}{s - t}, \quad r = c \frac{\sinh \xi}{s - t}; \quad s = \cosh \xi \\ t = \cos \eta \quad (2)$$

円環は $\xi = \sigma$ ($s_0 = \cosh \sigma$)、その外部は $\sigma \geq \xi \geq 0$, $0 \leq \eta$
 $< 2\pi$ で与えられる。一様流の流速を U として

$$\psi = \frac{1}{2} U c^2 \phi_1 + \psi_0 \phi_2, \quad (3)$$

$$\phi_1 = \frac{r^2}{c^2} - x, \quad \psi_0 = \frac{1}{2} U c^2 \gamma \quad (4)$$

と書けば、 χ 及び ϕ_2 は無限遠で 0 速度を与えるような関数であり、かつ $\xi = \sigma$ で次の境界条件を満足する。

$$\chi = \frac{\gamma^2}{c^2}, \quad \frac{\partial \chi}{\partial \xi} = \frac{2\gamma}{c^2} \frac{\partial \gamma}{\partial \xi}, \quad (5)$$

$$\phi_2 = 1, \quad \frac{\partial \phi_2}{\partial \xi} = 0 \quad (6)$$

ϕ_0 は流れの関数の円環上での値であって、予め指定されてはいない。

Pell と Payne の解は

$$\chi = \frac{\gamma^2}{c^2} (s-t)^{1/2} \sum_{n=0}^{\infty} \{A_n P_{n-1/2}(s) + B_n S P_{n-1/2}(s)\} \cos n\eta \quad (7)$$

及び同形の ϕ_2 (ただし A_n, B_n の代りに別の定数 C_n, D_n を用いる) である。ここで \sum' は $n=0$ の項は $1/2$ とすることと意味し、 P_2 は第一種球関数であって $P_2'(s) = dP_2(s)/ds$ 。 A_n, B_n は第二種球関数による表現

$$(s-t)^{-1/2} = \frac{2\sqrt{2}}{\pi} \sum_{n=0}^{\infty} Q_{n-1/2}(s) \cos n\eta \quad (8)$$

を用いて (5) より求められ、 C_n, D_n は

$$\frac{c^2}{\gamma^2} (s-t)^{-1/2} = \frac{3}{\sqrt{2}\pi} \sum_{n=0}^{\infty} Q_{n-1/2}^{-2}(s) \cos n\eta \quad (9)$$

を利用して (6) より決定される。後の議論に都合のよいように整理したそれ等を示せば

$$\begin{aligned}
 A_n &= \frac{2\sqrt{2}}{\pi} \left\{ \frac{Q_{n-1/2}}{P_{n-1/2}} + \frac{S_0}{(S_0^2-1)H_n} \frac{P'_{n-1/2}}{P_{n-1/2}} \right\}, \\
 B_n &= -\frac{2\sqrt{2}}{\pi} \frac{1}{(S_0^2-1)H_n}, \\
 C_n &= \frac{3\sqrt{2}}{2\pi} \frac{1}{n^2-9/4} \left[\frac{Q_{n-1/2}}{P_{n-1/2}} + \frac{S_0}{(S_0^2-1)H_n} \left\{ \frac{P'_{n-1/2}}{P_{n-1/2}} + \frac{2S_0}{S_0^2-1} \right\} \right], \\
 D_n &= -\frac{3\sqrt{2}}{2\pi} \frac{1}{n^2-9/4} \left[\frac{2}{n^2-1/4} \frac{Q'_{n-1/2}}{P'_{n-1/2}} + \frac{1}{(S_0^2-1)H_n} \left\{ 1 + \frac{2S_0}{S_0^2-1} \frac{P_{n-1/2}}{P'_{n-1/2}} \right\} \right],
 \end{aligned} \tag{10}$$

$$H_n = P_{n-1/2} P'_{n-1/2} + S_0 \{ P_{n-1/2} P''_{n-1/2} - (P'_{n-1/2})^2 \} \tag{11}$$

たゞし簡単のため $P_{n-1/2}(S_0)$ 等の S_0 を省略してある。

γ_0 (あるいは γ) の値は圧力が場の一価関数であるといふ要請から定まり、次式で計算される。

$$\int_0^{2\pi} \left[\frac{1}{r} \frac{\partial}{\partial \xi} (L-1, \psi) \right]_{s=1} d\eta = 0 \tag{12}$$

円環上の接線応力は

$$p_{\sigma\eta} = -\mu \left[\frac{1}{r} L-1, \psi \right]_{s=s_0} = \mu \omega_\sigma \tag{13}$$

こゝに ω は渦度, μ は粘性率である。(7)を用いてこれらの式を計算すれば

$$\gamma = \sum'_n B_n / \sum'_n D_n, \tag{14}$$

$$\omega_\sigma = \frac{U}{2c} (s_0 - t)^{1/2} \sinh \sigma \sum'_n \left[\{ 2(A_n - \gamma C_n) - (A_{n-1} - \gamma C_{n-1}) \} \right]$$

$$-(A_{n+1} - \gamma C_{n+1}) \} + \left\{ 2(B_n - \gamma D_n) - (n - \frac{3}{2})(B_{n-1} - \gamma D_{n-1}) + (n + \frac{3}{2})(B_{n+1} - \gamma D_{n+1}) \right\} P'_{n-1/2}(s_0) \cos n\eta \quad (15)$$

たゞし $A_{-1} = A_1, B_{-1} = B_1, C_{-1} = C_1, D_{-1} = D_1$ とする。対称軸上の速度は

$$u_{\gamma=0} = U \left[1 - (1-t)^{1/2} \sum_n' \left\{ (A_n - \gamma C_n) + \frac{1}{2}(n^2 - \frac{1}{4})(B_n - \gamma D_n) \right\} \cdot \cos n\eta \right] \quad (16)$$

(7) の型の解は円環の孔が広い場合に適する。 $\sigma \gg 1$ に

対し

$$B_0 = 2A_0 = D_0 = 2C_0 = \sqrt{2}\pi + O(e^{-2\sigma}), \quad (17)$$

$$D_1 = -2C_1 = -3B_1 = 6A_1 = \frac{\pi}{\sqrt{2}} \frac{3}{\ln(4e^\sigma) - 5/2} + O(e^{-2\sigma})$$

他の定数は全て $e^{-2\sigma}$ あるいはより高次の微小量であって、それらと省略すれば

$$\gamma = 1 - \frac{4}{\ln(4e^\sigma) + 1/2} \quad (18)$$

境界上の流線の判別は次式から求められる。

$$\omega_0 = -(B_1 - \gamma D_1) \{ P'_{1/2} - P_{1/2} \cos \eta \} = 0$$

$$\text{これより} \quad \cos \eta = P'_{1/2} / P_{1/2} \sim -e^{-\sigma} \{ \ln(4e^\sigma) - 2 \} \quad (19)$$

即ち $\eta \rightarrow 90^\circ$ 。円環の表面から出て孔に向き流体と外部とをわけるそれとを分ける流線の式は $\gamma \rightarrow \infty$ で $\gamma^2 = \gamma C^2$ に漸近す

る。従つて孔を通り抜ける流量は孔の半径を d として $r^2/d^2 = \gamma / (\tanh \frac{\sigma}{2})^2$ により評価されよう。表 1 は比較的たい孔の場合の計算例を示す。

(7) の解は $\sigma \rightarrow 0$ の極限で同じた円環の解に移行することを示すことが出来る。そのため

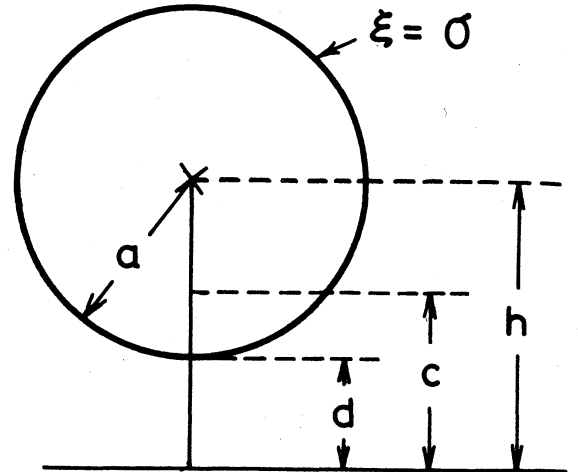


表 1.

図 1.

σ	$s_0 = h/a$	γ	r^2/d^2
3	1.007×10	0.2045	0.250
6	2.017×10^2	0.4930	0.498
9	4.052×10^3	0.6326	0.633

$$a = \frac{c}{\sinh \sigma}$$

$$h = \frac{c}{\tanh \sigma}$$

$$\xi = \sigma u, \quad \eta = \sigma v; \quad 0 \leq u \leq 1, \quad v \geq 0 \quad (20)$$

と書いて $\sigma \rightarrow 0$ とすれば

$$(s-t)^{-1/2} = \left[\frac{\sigma^2}{2} (u^2 + v^2) \right]^{-1/2} = \frac{2\sqrt{2}}{\pi} \frac{1}{\sigma} \int_0^\infty K_0(ku) \cos kv \, dk \quad (21)$$

更に $n\sigma = k$ とおいて $\sigma \rightarrow 0$ と行えば λ のおきの形は種々でおき代えられ、その際 $\psi_0 = 0$ であるから変形したセル関数 K_n, I_n による次の式をうる。

$$\psi = \frac{U}{\pi} \gamma \rho \int_0^{\infty} \left[u K_0(ku) - \frac{1}{H(k)} \left\{ (K_0(k) I_2(k) + K_1(k) I_1(k)) \right. \right. \\ \left. \left. \cdot u I_0(ku) - \frac{1}{k} I_1(ku) \right\} \right] \cos kv \, dk, \quad (22)$$

$$H(k) = I_0(k) I_2(k) - I_1^2(k), \quad \rho = (r^2 + x^2)^{1/2} \quad (23)$$

$z > \tau$ 次の関数が使われた。

$$\lim_{m \rightarrow \infty} m^n P_m^{-n} \left(\cosh \frac{z}{m} \right) = I_n(z),$$

$$\lim_{m \rightarrow \infty} \frac{\sin m\pi}{m^n \sin(m+n)\pi} Q_m^n \left(\cosh \frac{z}{m} \right) = K_n(z) \quad (24)$$

3. $\sigma \ll 1$ の場合には適切な解を得るため、複素平面 $z = x + iy$ 上の閉曲線に沿った次の積分を考える。

$$F_j = \oint f_j(z) dz, \quad j = 1, 2, 3 \quad (25)$$

$$f_1(z) = i \frac{\sqrt{2}}{\pi} \left[\frac{Q_2(s_0)}{P_2(s_0)} P_2(s) + \frac{P_2'(s_0)}{(s_0^2 - 1)H(z)} \left\{ \frac{s_0 P_2(s)}{P_2(s_0)} \right. \right. \\ \left. \left. - \frac{s P_2'(s)}{P_2'(s_0)} \right\} \right] \frac{\cos[(\pi - \eta)(z + 1/2)]}{\sin[\pi(z + 1/2)]}, \quad (26)$$

$$f_2(z) = i \frac{3\sqrt{2}}{4\pi} \frac{1}{(z-1)(z+2)} \left[\frac{Q_2(s_0)}{P_2(s_0)} P_2(s) - \frac{2}{z(z+1)} \frac{Q_2'(s_0)}{P_2'(s_0)} \right. \\ \left. \cdot s P_2'(s) + \frac{(s_0^2 - 1)P_2'(s_0) + 2s_0 P_2(s_0)}{(s_0^2 - 1)^2 H(z)} \left\{ \frac{s_0 P_2(s)}{P_2(s_0)} - \frac{s P_2'(s)}{P_2'(s_0)} \right\} \right] \\ \cdot \frac{\cos[(\pi - \eta)(z + 1/2)]}{\sin[\pi(z + 1/2)]}, \quad (27)$$

$$H(z) = P_2(s_0)P_2'(s_0) + s_0 \{ P_2(s_0)P_2''(s_0) - (P_2'(s_0))^2 \}, \quad (28)$$

$$f_3(z) = i \frac{3\sqrt{2}}{4\pi} Q_z^{-2}(s) \frac{\cos[(\pi-\eta)(z+1/2)]}{\sin[\pi(z+1/2)]} \quad (29)$$

積分路を $x = -1/2$ を中心とした半径無限大の円の右半分と中心を通る虚軸に沿って取れば、円周上の積分は何れも 0 となり虚軸上の積分は次の関係

$$P_{iy-1/2} = P_{-iy-1/2}, \quad z = iy - \frac{1}{2},$$

$$Q_{iy-1/2} - Q_{-iy-1/2} = \frac{\pi}{i} \operatorname{Tanh} \pi y P_{iy-1/2} \quad (30)$$

を用いることにより、

$$F_1 = i \int_{-\infty}^{\infty} f_1 dy = \sqrt{2} \int_0^{\infty} \frac{\cosh(\pi-\eta)y}{\cosh \pi y} P_{iy-1/2}(s) dy = (s-t)^{-1/2}, \quad (31)$$

$$F_2 = i \int_{-\infty}^{\infty} f_2 dy = \frac{3}{2\sqrt{2}} \int_0^{\infty} \frac{\cosh(\pi-\eta)y}{\cosh \pi y} P_{iy-1/2}^{-2}(s) dy = F_3 \quad (32)$$

一方、これらの積分の値は留数計算によつて求めることができる。図 127 の極 z_0 における留数を $\operatorname{Res}(f, z_0)$ で表わせば

$$F_1 = -2\pi i \left\{ \sum_m \operatorname{Res}(f_1, m - \frac{1}{2}) + \sum_{\sqrt{n}} (2i) R[\operatorname{Res}(f_1/i, \sqrt{n})] \right\} \\ = \sum_{m=0}' \{ A_m P_{m-1/2}(s) + B_m s P_{m-1/2}'(s) \} + 4\sqrt{2} V, \quad (33)$$

$$V = \sum_{\sqrt{n}} R \left[\frac{P_{\sqrt{n}}'(s_0)}{(s_0^2-1)(\partial H/\partial z)_{\sqrt{n}}} \left\{ \frac{s_0 P_{\sqrt{n}}(s)}{P_{\sqrt{n}}(s_0)} - \frac{s P_{\sqrt{n}}'(s)}{P_{\sqrt{n}}'(s_0)} \right\} \right]$$

$$\left. \frac{\cos[(\pi-\eta)\lambda_n/\sigma]}{\sin(\pi\lambda_n/\sigma)} \right] \quad (34)$$

たゞし R は実部を示し、 m は 0 または正の整数である。 $\nu_n = \lambda_n/\sigma - 1/2$ は $H(z) = 0$ の複素根を表わし、 n の順に絶対値が大なるものとする。同様にして

$$\begin{aligned} F_2 &= -2\pi i \left\{ \sum_m \text{Res}(f_2, m - \frac{1}{2}) + \sum_{\nu_n} (2i) \mathcal{R}[\text{Res}(f_2/i, \nu_n)] \right. \\ &\quad \left. + \text{Res}(f_2, 0) + \text{Res}(f_2, 1) \right\} \\ &= \sum_{m=0}' \left\{ C_m P_{m-1/2}(s) + D_m s P_{m-1/2}'(s) \right\} + 3\sqrt{2}W + \frac{3}{\sqrt{2}} J_2, \end{aligned} \quad (35)$$

$$\begin{aligned} W &= \sum_{\nu_n} \mathcal{R} \left[\frac{(s_0^2 - 1) P_{\nu_n}'(s_0) + 2s_0 P_{\nu_n}(s_0)}{(s_0^2 - 1)^2 (\partial H / \partial z)_{\nu_n}} \left\{ \frac{s_0 P_{\nu_n}(s)}{P_{\nu_n}(s_0)} - \frac{s P_{\nu_n}'(s)}{P_{\nu_n}'(s_0)} \right\} \right. \\ &\quad \left. \cdot \frac{\cos[(\pi-\eta)\lambda_n/\sigma]}{\sin(\pi\lambda_n/\sigma)} \right], \end{aligned} \quad (36)$$

$$\begin{aligned} J_2 &= \frac{1}{(s_0 - 1)^2} \left\{ \left(1 - \frac{s_0^2 + 1}{s + 1}\right) \sin \frac{\eta}{2} - \frac{1}{3(2s_0 + 1)} \left(s - \frac{3s_0^2 - 1}{s + 1}\right) \right. \\ &\quad \left. \cdot \sin \frac{3}{2}\eta \right\}, \end{aligned} \quad (37)$$

$$\begin{aligned} F_3 &= -2\pi i \left\{ \sum_m \text{Res}(f_3, m - \frac{1}{2}) + \text{Res}(f_3, 0) + \text{Res}(f_3, 1) \right\} \\ &= \frac{3}{\sqrt{2}\pi} \sum_{m=0}' Q_{m-1/2}^{-2}(s) \cos m\eta - \frac{3}{\sqrt{2}} J_1, \end{aligned} \quad (38)$$

$$J_1 = \frac{1}{s^2 - 1} \left(s \sin \frac{\eta}{2} - \frac{1}{3} \sin \frac{3}{2}\eta \right) \quad (39)$$

(33), (35) において最初の項は Pell と Payne の解である。

こゝに得られた結果を総合して

$$\phi_1 = \frac{\gamma^2}{c^2} (s-t)^{1/2} 4\sqrt{2} V, \quad (40)$$

$$\phi_2 = 1 - \frac{\gamma^2}{c^2} (s-t)^{1/2} \left\{ \frac{3}{\sqrt{2}} (J_1 + J_2) + 3\sqrt{2} W \right\} \quad (41)$$

これらを用いて表わされた ψ が求める結果であつて、 $\sigma \ll 1$ の場合を取扱うに適する。 $\cos[(\pi-\eta)\lambda_n/\sigma] / \sin(\pi\lambda_n/\sigma)$ を含む項は $\eta < \sigma$ 以外の領域では指数函数的に小さく有り、逆に $\eta \sim \pi$ では $J_1 + J_2$ に由来する項が支配的である。 x 軸上では明らかに $\psi = 0$ であり、直接の計算によつて次の諸式が得られる。

$$\omega_0 = -\frac{U}{c} \frac{2\sqrt{2}}{\sinh \sigma} (s_0 - t)^{3/2} \left\langle 2 \sum \mathcal{R} \left[\left\{ 1 - \frac{3}{4} \gamma \left(1 + \frac{2s_0}{s_0^2 - 1} \frac{P_{2n}}{P'_{2n}} \right) \right\} \right. \right. \\ \left. \left. \cdot \frac{P'_{2n}}{(\partial H / \partial z)_{2n}} \frac{\cos[(\pi-\eta)\lambda_n/\sigma]}{\sin(\pi\lambda_n/\sigma)} \right] - \frac{3}{4} \gamma \frac{s_0+1}{s_0-1} \left(\sin \frac{\eta}{2} - \frac{s_0}{2s_0+1} \sin \frac{3}{2} \eta \right) \right\rangle, \quad (42)$$

$$u_{\gamma=0} = -\sqrt{2} U (1-t)^{1/2} \left\langle 2 \sum \mathcal{R} \left[\left\{ 1 - \frac{3}{4} \gamma \left(1 + \frac{2s_0}{s_0^2 - 1} \frac{P_{2n}}{P'_{2n}} \right) \right\} \frac{P'_{2n}}{P_{2n}} \frac{1}{(\partial H / \partial z)_{2n}} \right. \right. \\ \left. \left. \cdot \frac{\cos[(\pi-\eta)\lambda_n/\sigma]}{\sin(\pi\lambda_n/\sigma)} \right] - \frac{3}{4} \gamma \frac{s_0+1}{s_0-1} \left(\sin \frac{\eta}{2} - \frac{1}{2s_0+1} \sin \frac{3}{2} \eta \right) \right\rangle, \quad (43)$$

$$\gamma = \frac{4}{s_0^2 - 1} \left(\sum \mathcal{R} \left[\frac{\cot(\pi\lambda_n/\sigma)}{(\partial H / \partial z)_{2n}} \right] \right) / \left\langle \frac{3}{s_0^2 - 1} \sum \mathcal{R} \left[\left(1 + \frac{2s_0}{s_0^2 - 1} \frac{P_{2n}}{P'_{2n}} \right) \right. \right. \\ \left. \left. \cdot \frac{\cot(\pi\lambda_n/\sigma)}{(\partial H / \partial z)_{2n}} \right] - \frac{\pi}{2} \left[1 - \frac{1}{(s_0-1)^2} \frac{2}{2s_0+1} \left\{ 1 + 3s_0(s_0^2 + s_0 + 1) \right\} \right] \right\rangle. \quad (44)$$

γ の計算は特に煩雑ではあるが、何れも格別な困難はない。

4. $\sigma \rightarrow 0$ の極限では $\gamma = 0$ となるから (40) を用いて閉じた円環に対する解 (22) の別の表現が得られる。

$$\psi = U \tau \rho \sum_{\mu_n} R \left[\frac{i}{I_0^2(\mu_n) I_2(\mu_n)} \left\{ U I_1(\mu_n) I_0(\mu_n u) - I_0(\mu_n) I_1(\mu_n u) \right\} e^{i\mu_n v} \right] \quad (45)$$

2.12 $\sigma \nu_n \rightarrow \mu_n$ は $I_0(\mu) I_2(\mu) - I_1^2(\mu) = 0$ の根である。 $\sigma \ll 1$ に対し $\eta = \sigma \nu$ とおいて (42) - (44) は近似的に

$$\gamma \rightarrow \frac{3}{20\pi} \sigma^5 \sum R \left[\frac{1}{i\mu_n I_1 I_2} \right] = (2.8 \times 10^{-3}) \sigma^5, \quad (46)$$

$$\omega_\sigma \sim -\frac{U}{c} \frac{2\sqrt{2}}{\sinh \sigma} (s_0 - t)^{3/2} \frac{1}{\sigma} \left\langle R \left[\left\{ 1 - \frac{3}{4} \gamma \left(1 + \frac{2I_0}{\mu_1 I_1} \right) \right\} \frac{i\mu_1}{I_0} \cdot e^{i\mu_1 v} \right] - \gamma \sigma \left\{ \frac{2}{\sigma^2} (1 - \cos \sigma \nu) - \frac{1}{2} \right\} \sin \frac{\sigma \nu}{2} \right\rangle, \quad (47)$$

$$u_{\gamma=0} \sim -\sqrt{2} U (1-t)^{1/2} \frac{1}{\sigma} \left\langle R \left[\left\{ 1 - \frac{3}{4} \gamma \left(1 + \frac{2I_0}{\mu_1 I_1} \right) \right\} \frac{i\mu_1}{I_0^2} \cdot e^{i\mu_1 v} \right] - \gamma \sigma \left\{ \frac{2}{\sigma^2} (1 - \cos \sigma \nu) + 1 \right\} \sin \frac{\sigma \nu}{2} \right\rangle \quad (48)$$

ただし $I_n(\mu_1)$ で μ_1 と省略してある。(47), (48) で $\sigma = 0$ ($\gamma = 0$) とすればこれらは閉じた円環について Dorrepaal 等の示した式と一致する。

(47) において η が十分小さく初めの項が支配的であるならば、円環が閉じた場合における割断点の近くで流れは割

離するであろう。勿論一番外側の剥離点は常に存在するわけであるが、 σ が小さくなるにつれて更に別の大きなところから次々に対をなした剥離点が現れ、それぞれは円環に付着した渦輪の渦領域を形成することになる。 (48) 式についての同様の考察は、対称軸上に対をなしたよどみ点が生じてそを通る $\psi=0$ の流線面に封じ込められた渦の領域の形成を示唆する。

円環上の剥離点及び x 軸上のよどみ点を求めるには $\omega_0 = 0$, $u_{r=0} = 0$ を数値的に解かねばならない。パラメータ σ を小さくしてゆくと先づ $u_{r=0} = 0$ の重根が現れる (1)。更に σ が小さくなるにつれて x 軸上の渦領域は次第に拡がり、やがて $\omega_0 = 0$ に重根が現れる (2)。これに生じる渦の領域は σ の減少と共に拡がりを増し、やがて x 軸上に二つの渦領域が生長を始める (3)。このようにして、 σ の減少に伴い x 軸上及び円環上に渦の領域が交互に形成されてゆく様子を見ることが出来る。流れの構造を示す一例として $\sigma = 0.1$ ($h/a = 1.005$) の場合を図 2 に示す (表 2, 3 参照)。この σ の値では x 軸上及び円環の面上にそれぞれたゞ一つの渦領域がみられるだけである。図を借りて、上述の (1), (2) 及び (3) に対応する点の位置が示されている (表 4)。

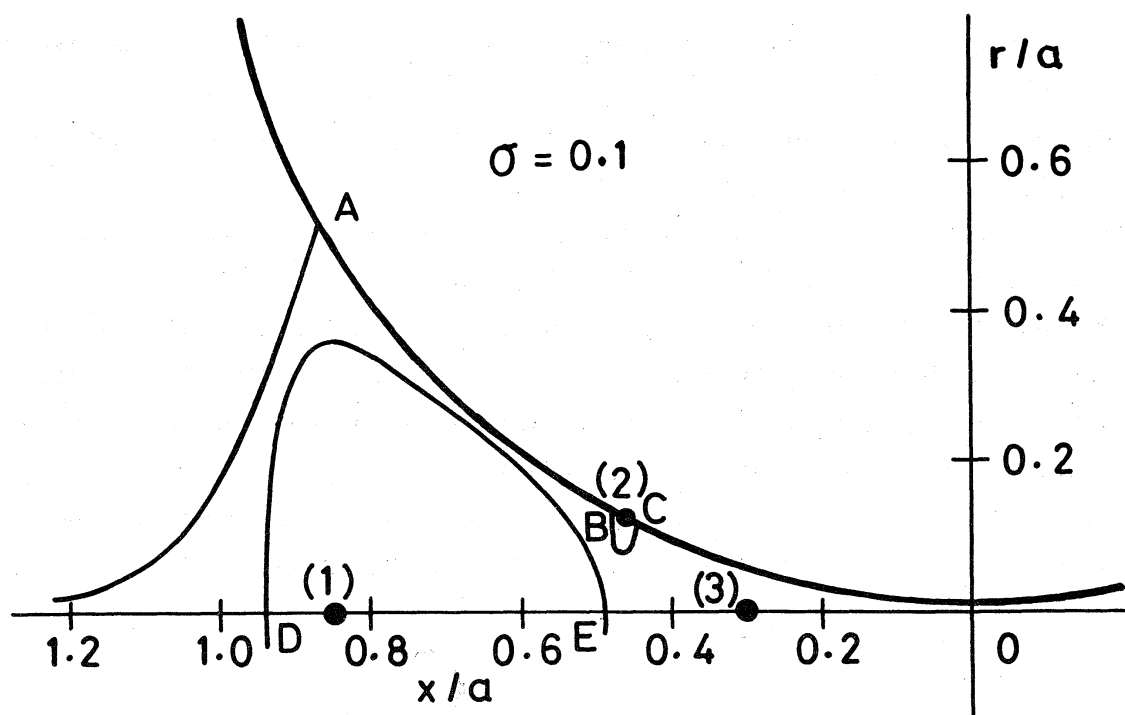


图 2

表 2

	A	B	C	D	E
η (deg.)	9.8	22.5	24.2	12.2	23.5
x/a	0.870	0.473	0.442	0.937	0.482

表 3.

σ	λ_1	λ_2	γ
0.1	$1.4709+4.4658i$	$1.731+7.694i$	5.4×10^{-8}
(0	$1.4674+4.4663i$	$1.727+7.694i$	0)

表 4.

σ	h/a	x/a	
0.427	1.0917	0.856	(1)
0.105	1.0055	0.462	(2)
0.016	1.0001	0.301	(3)

文献

- [1] Pell, W.H. & Payne, L.E., On Stokes flow about a torus. *Mathematika* 7 (1960), 78-92.
- [2] Wakiya, S., On the exact solution of the Stokes equations for a torus. *J. Phys. Soc. Jpn.* 37 (1974), 780-783.
- [3] Takagi, H., Slow viscous flow due to the motion of a closed torus. *J. Phys. Soc. Jpn.* 35 (1973), 1225-1227.
- [4] Dorrepaal, J.M., Majumdar, S.R., O'Neill, M.E. & Ranger, K.B., A closed torus in Stokes flow. *Quart. J. Mech. Appl. Math.* 29 (1976), 381-397.
- [5] Wakiya, S., Axisymmetric flow of a viscous fluid near the vertex of a body. *J. Fluid Mech.* 78 (1976), 737-747.
- [6] Davis, A.M. & O'Neill, M.E., Separation in a slow linear shear flow past a cylinder and a plane. *J. Fluid Mech.* 81 (1977), 551-564.